Responsable : DE SOZA Thomas

Date : 30/05/2016 Page : 1/7 Clé : V6.03.155 Révision

00b8b93b3463

SSNP155 – Benchmark NAFEMS de validation du contact 3 : *sheet metal forming*

Résumé:

Ce problème constitue le troisième cas-test d'un benchmark NAFEMS de validation du contact-frottement. Les références du benchmark sont obtenues avec les codes Abaqus et MARC.

Ce test modélise un emboutissage d'une tôle par un poinçon dans une matrice. Le problème est triplement non-linéaire : écrouissage isotrope non-linéaire, grands déplacements et contact-frottement.

Ce test ne comporte qu'une seule modélisation avec :

- éléments quadratiques sous-intégrés
- formulation de traitement du contact sans frottement 'DISCRETE'.

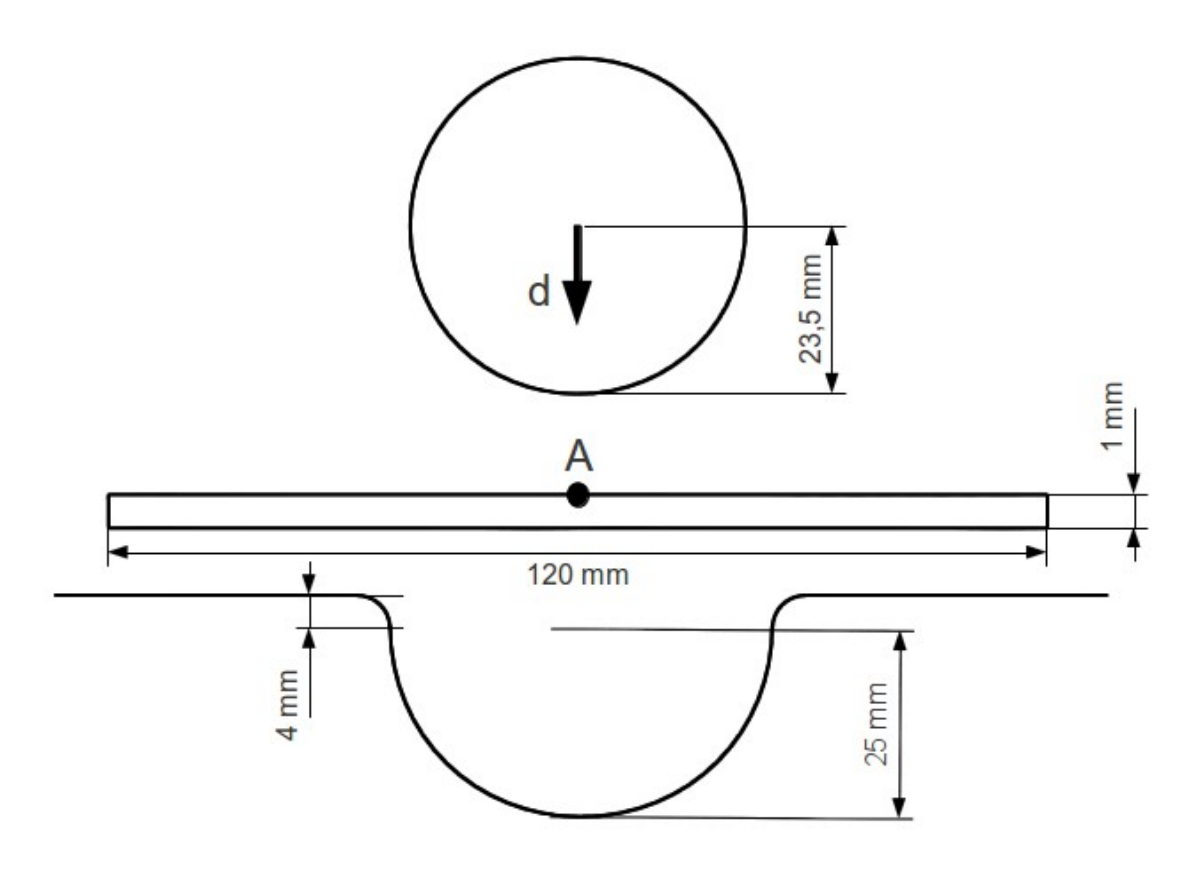
Date: 30/05/2016 Page: 2/7 Responsable: DE SOZA Thomas Clé: V6.03.155 Révision

00b8b93b3463

Problème de référence

1.1 Géométrie

La structure est modélisée en déformations planes. On tient compte de la symétrie pour ne représenter qu'une moitié.



On note A le point milieu de la plaque situé sur le bord supérieur.

1.2 Propriétés des matériaux

Poinçon et matrice :

Rigide

Plaque:

Coefficient de Poisson: 0,342 Module d'Young : $70500 N.mm^{-2}$ Limite élastique : $\sigma_0 = 194 N.mm^{-2}$

Écrouissage isotrope de type Hollomon : $\sigma = K \epsilon^n$

 $- K = 550,4 N.mm^{-2}$

- n = 0.223

Dans le calcul, cet écrouissage est représenté par un écrouissage non-linéaire à courbe de traction:

Responsable : DE SOZA Thomas

Date: 30/05/2016 Page: 3/7 Clé: V6.03.155 Révision 00b8b93b3463

€	σ (<i>Mpa</i>)
2.75177E-03	1.94000E+02
2.32630E-02	2.30043E+02
4.38085E-02	2.68496E+02
6.41689E-02	2.93904E+02
8.44451E-02	3.13378E+02
1.04672E-01	3.29365E+02
2.05453E-01	3.84423E+02
3.05969E-01	4.20802E+02
4.06364E-01	4.48681E+02
5.06689E-01	4.71573E+02
6.06967E-01	4.91140E+02
7.07210E-01	5.08317E+02
8.07428E-01	5.23682E+02
9.07626E-01	5.37619E+02
1.00781E+00	5.50399E+02
1.10797E+00	5.62224E+02
1.20813E+00	5.73239E+02
1.30828E+00	5.83564E+02
1.40842E+00	5.93287E+02

Le coefficient de frottement entre la plaque et les outils rigides vaut $\mu = 0.1342$.

1.3 Conditions aux limites et chargements

La structure étant symétrique et soumise à un chargement respectant la symétrie, seule une moitié est représentée. On applique donc DX = 0 sur le plan de symétrie.

La matrice est encastrée :

- DX = 0
- DY = 0

Le poinçon est soumis à un déplacement vertical :

• $DY = d = -28.5 \, mm$

Dans un second temps on retire le poinçon (décharge).

Responsable : DE SOZA Thomas Clé : V6.03.155

Date : 30/05/2016 Page : 4/7 Clé : V6.03.155 Révision

00b8b93b3463

2 Solution de référence

2.1 Méthode de calcul

La solution de référence provient de résultats obtenus avec les codes Abaqus et MARC dans un benchmark NAFEMS de validation du contact-frottement [bib1].

Des résultats expérimentaux sont disponibles pour le cas où le frottement est pris en compte.

2.2 Grandeurs et résultats de référence

Déplacement vertical du point A (selon y) après descente complète du poinçon puis, après décharge.

2.3 Incertitudes sur la solution

Importante (moyenne de codes).

2.4 Référence bibliographique

[1] A. KONTER. « Advanced Finite Element Contact Benchmarks ». NAFEMS, 2006.

Responsable : DE SOZA Thomas

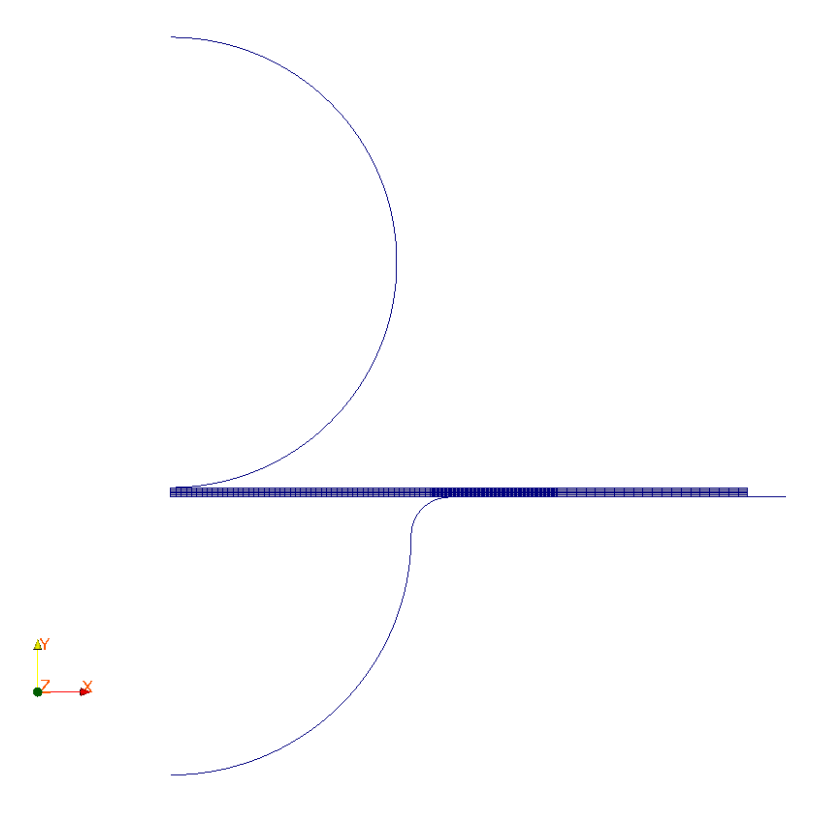
Date : 30/05/2016 Page : 5/7 Clé : V6.03.155 Révision

Révision 00b8b93b3463

3 Modélisation A

3.1 Caractéristiques de la modélisation

3.2 Caractéristiques du maillage



Nombre de nœuds : 3436

Nombre de mailles et types : 850 QUAD8 et 533 SEG2.

3.3 Grandeurs testées et résultats

Calcul avec algorithme de contact 'CONTRAINTE'

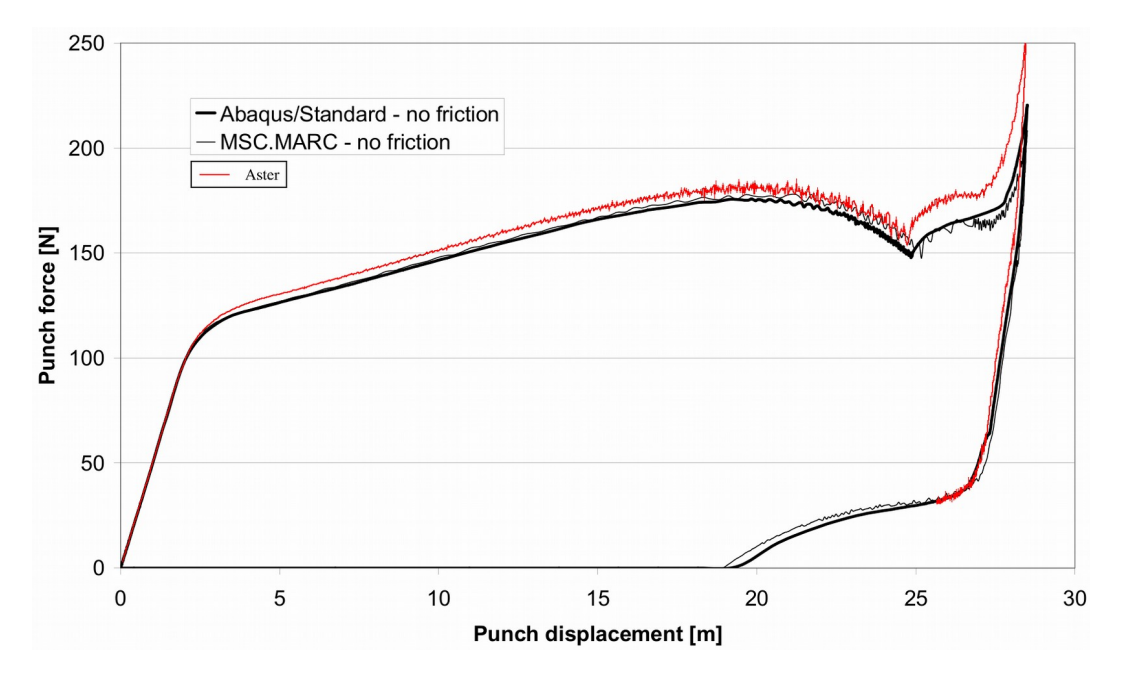
Identification	Type de référence	Valeur de référence	Tolérance
DY au point A après charge	'SOURCE_EXTERNE'	-28,5	0,1%
DY au point A après décharge	'SOURCE_EXTERNE'	-25,65	0,1%

3.4 Remarques

Responsable : DE SOZA Thomas

Date : 30/05/2016 Page : 6/7 Clé : V6.03.155 Révision

00b8b93b3463



Les résultats obtenus en quadratique sous-intégré sans frottement avec la formulation discrète sont en bon accord avec la solution de référence.

On notera une légère déviation par rapport aux codes commerciaux qui peut s'expliquer par le traitement en dynamique lente du problème. En effet la réponse force-déplacement très instable a obligé à réaliser le calcul ainsi afin de bénéficier de la stabilisation d'une matrice masse.

La décharge n'a pas été poursuivie jusqu'au bout afin de minimiser le temps de calcul du test.

On notera que dans ce test et contrairement aux recommandations de la notice d'utilisation du contact ([U2.04.04]), une prédiction 'TANGENTE' a été utilisée. C'est parce que la prédiction 'ELASTIQUE' ne peut pas passer la phase finale de la charge, on le voit sur la réponse force-déplacement : la pente à cet endroit est plus raide que la pente élastique.

Date: 30/05/2016 Page: 7/7 Responsable: DE SOZA Thomas Clé: V6.03.155 Révision

00b8b93b3463

Synthèse des résultats 4

Ce test permet de valider le contact couplé à toutes les autres non-linéarités par rapport à des références données par des codes de calcul commerciaux (Abaqus et MARC).

On observe un bon accord entre les résultats de référence et ceux obtenus par Code_Aster.

On notera que dans ce benchmark particulièrement difficile :

- le calcul en formulation continue n'a pas été possible
- la stabilisation (par un calcul dynamique en temps long) est indispensable au bon déroulé du test

Le calcul avec frottement a été mené avec succès en formulation continue mais nécessite un temps de calcul trop long pour en faire une modélisation de ce test. À titre d'information on donne néanmoins la réponse force-déplacement d'un tel calcul.

